

## 碎波点の底面平均流速に関する研究

北見工業大学工学部 正員 佐藤章雄

## I. まえがき

Ippen & Eagleson らは波による斜面上の砂粒子の運動機構について力学的な取扱いを行ない、その中でいわゆる Null point (砂粒子の実質的移動がない状態) に関する式を提案している<sup>1)</sup>。すなわち、局所的に Null point を求めると底面の平衡形状が得られる試であるが、この場合の式の説明過程においては、底質の粒径、比重、抗力係数等が関係するものは勿論であるが特に重要な値は底面の境界層内の質量輸送速度でありさらに、その外縁における質量輸送速度である。

Eagleson & Dean<sup>2)</sup>は斜面上の底質移動に対する境界層外縁流速と Longuet-Higgins が求めた水平床の場合の有限振幅波の質量輸送速度を近似的に使用している。また、最近 Bigker<sup>3)</sup>等が斜面上の底面附近質量輸送速度を線型理論を用いて求め、Lagrangian Velocity による質量輸送速度について、主に碎波長より冲側の領域における実験値と比較検討を行っている。この場合、波高変化の観察により微小振幅波の浅水度係数を用いて見積り、た理論値が非線形性の強い Shoaling の場合の実験値よりもかなり大きな値を示している。本来、質量輸送が最も大きいと考えられる碎波点附近では 実際に波形が極端に非対称であること、また底面流れの存在のため、それらの影響などのような質量輸送速度の発生状況であるかを調べることが必要である。本研究では碎波点の底面附近における Euler 風に測られた値を使用した時間平均流速 (zero net velocity) について実験値と上記各理論との比較検討を行ない、また、底面流速の峯、谷の位相ごとの岸向き、沖向き最大流速が微小振幅波理論に比較的一致する<sup>4)</sup>ことから時間的平均流速についても微小振幅波理論が適用可能か否かの検討を行つたものである。

## II 実験方法

底勾配は及べ  $1/15, 1/30, 1/60$  の3種類で、底面は滑面状態である。実験波の諸元を表-1に示した。また、碎波点は目視でとらえ、その碎波点の底面附近(

底面より 5mm の高さの位置) の流速を熱線流速計を用いて測定し、ペン書きオットログラフに記録した。この場合のプローブは円錐形のタイプのものを用いた。記録より時間的平均流速を求める方法としては、流速値の記録波形をスライド写真に撮り、さらにスライドプロジェクターにより 2.5 倍程度に引伸したものについてプローラメーターを用いて面積を求めた。プローラメーターの検定と 1/2 面積が既知の各種三角形についてオーラニメータ一定数を決定したところ定数はほとんど一定値を示し、目盛の読みとの間に直線的関係が得られた。

## III. 底面の質量輸送速度を与える各式

Bigker が求めた底面境界層内の時間的平均流速  $\bar{U}$  は次式のようなものである。

$$\bar{U} = \frac{A^2 k}{\sigma} \left[ -\frac{1}{2} H e^{-H} (\sin \mu + \cos \mu) + \frac{1}{2} e^{-H} \sin \mu - e^{-H} \cos \mu + \frac{1}{4} e^{-2H} + \frac{3}{4} \right] + \frac{A}{\sigma} \frac{dA}{dx} \left[ \frac{1}{2} H e^{-H} (\sin \mu - \cos \mu) + e^{-H} \sin \mu + \frac{1}{2} e^{-H} \cos \mu + \frac{1}{4} e^{-2H} - \frac{3}{4} \right] \quad \dots \dots \dots (1)$$

ここで、  $A$  は境界層外縁流速の振幅で  $A = U_{00, \text{max}}$  であり、  $\mu = (h+z)/\delta$ 、  $\delta = (2H/\sigma)^{\frac{1}{2}}$ 、  $\sigma$ ：動粘性係数、である。 $(\sigma = 2\pi/\tau, \tau = 2\pi/L)$

さらに、 Bigker は測定値と同様な Lagrangian Velocity を求めた方向に進んでいるが、本実験の測定値のようなら Eulerian

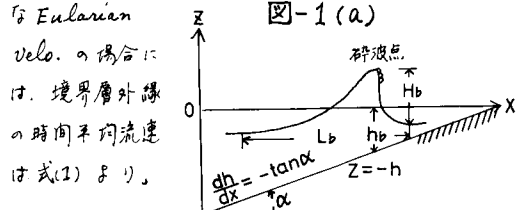


図-1(a)

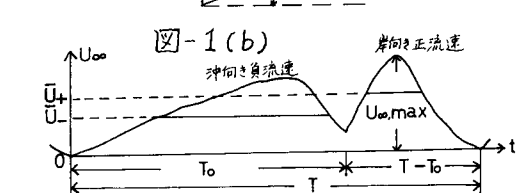


図-1(b)

勾配	碎波水深	碎波高	碎波比水深	碎波比高	周期	記号
S	$h_b \text{ cm}$	$H_b \text{ cm}$	$h_b/L_0$	$H_b/L_0$	$T_{\text{sec}}$	
1/15	4.2 ~ 13.3	2.6 ~ 9.2	0.011 ~ 0.12	0.006 ~ 0.08	0.8 1.0	▲
1/30	3.0 ~ 9.6	1.0 ~ 6.9	0.005 ~ 0.09	0.004 ~ 0.07	1.2 1.5	△
1/50	2.8 ~ 8.3	1.1 ~ 5.5	0.005 ~ 0.08	0.002 ~ 0.05	1.7	○

水平床の場合  $\bar{U}_{\infty} = \frac{3}{4} \frac{A^2 k}{\sigma} \left( 1 - \frac{1}{Ak} \frac{dA}{dx} \right) = \frac{3}{4} \frac{A^2 k}{\sigma} \left( 1 - \frac{1}{Ak} \tanh \frac{2\pi h_b}{L_b} \right)$  ----- (2)

いま碎波点における A の値と 1/2 滴小振中波の表面流速の最大値を用い、さらに碎波水高  $H_b$  と 1/2 Miche の式  $H_b/L_b = 0.142 \tanh(2\pi h_b/L_b)$  を使用すれば、

$$A = \frac{H_b}{2} \frac{1}{\sinh kh_b} = \frac{0.142 L_0 \sigma}{2} \frac{\sinh kh_b}{\cosh^2 kh_b} \quad \text{----- (3)}$$

$$\text{よし } 2\pi h_b/L_0 = k_b h_b = \psi, 2\pi h_b/L_b = k_b h_b = \psi, (L_0; 碎波換算波長)$$

とおこうと、 $k_b h_b = k_b \tanh kh_b$  であるから。

$$\frac{dA}{dh_b} = \frac{0.142 L_0 \sigma}{2} \frac{1 - \sinh^2 kh_b}{\cosh^3 kh_b} \quad \text{----- (4)}$$

$$\frac{dk}{dh_b} = \frac{\cosh^2 kh_b}{\tanh kh_b \cosh^2 kh_b + kh_b} = \frac{d\psi}{d\psi} \quad \text{----- (4)}$$

$$\frac{d(kh_b)}{dx} = -k_b \tan \alpha = \frac{d\psi}{dx}$$

とおこうと、式(4)と(2)より、 $\bar{U}_{\infty}/\sqrt{gL_0}$  の実測値と

$$\begin{aligned} \bar{U}_{\infty}/\sqrt{gL_0} &= \frac{3}{4} \frac{A^2 k}{\sigma \sqrt{gL_0}} \left[ 1 - \frac{1}{Ak} \frac{dA}{d\psi} \frac{d\psi}{dx} \right] \\ &= \frac{3\sqrt{(2\pi)^3} 0.142^2}{16} \frac{\sinh kh_b}{\cosh^3 kh_b} \left[ 1 - \frac{\sinh^2 kh_b - 1}{\sinh kh_b \cosh^2 kh_b + kh_b} \tanh \alpha \right] \end{aligned} \quad \text{----- (5)}$$

一方、水平床の場合の Longuet-Higgins の式は、無限に長い水路の場合、

$$\bar{U}_{\infty} = \frac{1}{2} \left( \frac{\pi H}{L} \right) \left( \frac{\pi H}{T} \right) \frac{1}{\sinh^2 kh} \quad \text{----- (6)}$$

断面内の質量輸送速度が 0 となるときは、水路の一端が限ら水でいる場合は、

$$\bar{U}_{\infty} = \frac{1}{2} \left( \frac{\pi H}{L} \right) \left( \frac{\pi H}{T} \right) \frac{1 - (L/2kh) \sinh kh}{\sinh^2 kh} \quad \text{----- (7)}$$

また、粘性の影響を無視し得ないとした場合の、

$$\bar{U}_{\infty} = \frac{5}{4} \left( \frac{\pi H}{L} \right) \left( \frac{\pi H}{T} \right) \frac{1}{\sinh^2 kh} \quad \text{----- (8)}$$

などがある。式(6), (7), (8)は式(5)と同様に

Miche の式と微小振中波理論と適用せず、 $\sqrt{gL_0}$  で無次元化する、それを次式のようにする。

$$\bar{U}_{\infty} = 0.004 \frac{1}{\cosh^2 \frac{2\pi h_b}{L_b}} \tanh \frac{2\pi h_b}{L_b} \quad \text{----- (9)}$$

$$\bar{U}_{\infty} = 0.004 \frac{\tanh \frac{2\pi h_b}{L_b}}{\cosh^2 \frac{2\pi h_b}{L_b}} \left( 1 - \frac{L_b}{4\pi h_b} \sinh \frac{2\pi h_b}{L_b} \right) \quad \text{----- (10)}$$

$$\bar{U}_{\infty} = 0.01 \frac{1}{\cosh^2 \frac{2\pi h_b}{L_b}} \tanh \frac{2\pi h_b}{L_b} \quad \text{----- (11)}$$

#### IV. 実験結果と考察

底面流速に因る測定値の周期につれての平均値である時間平均流速  $\bar{U}_{\infty}/\sqrt{gL_0}$  で無次元化した値  $\bar{U}_{\infty}/\sqrt{gL_0}$  の実測値とグラフを描くと、各勾配について、図-2, 3, 4 があり、図をみると、 $h_b/L_0$  が小さい範囲を除いては

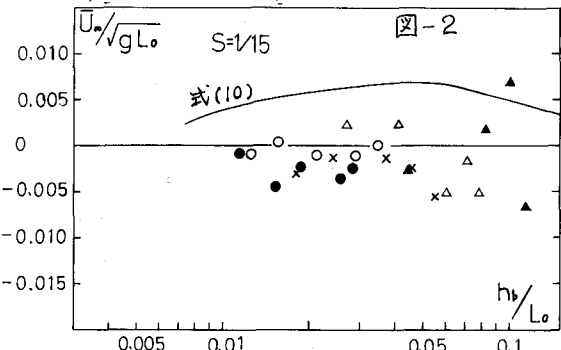


図-2

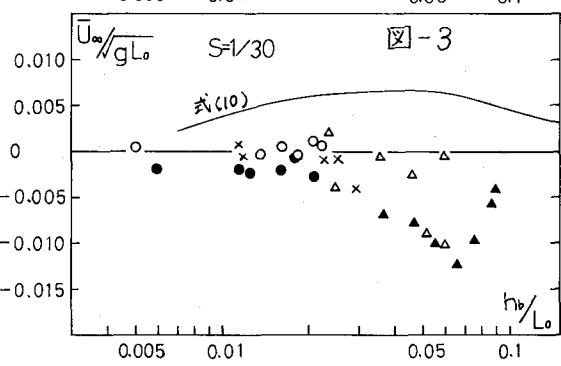


図-3

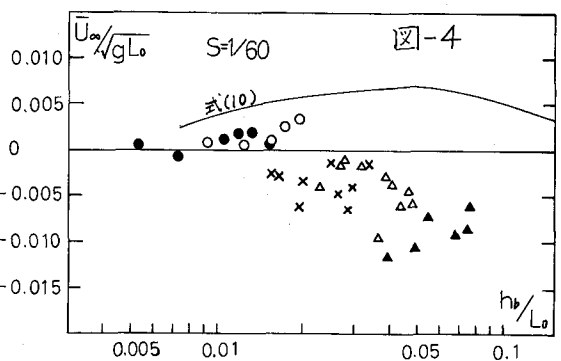
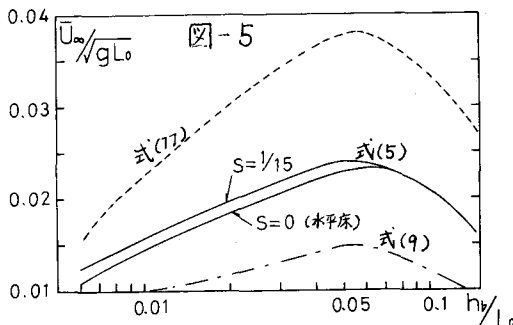


図-4



ほとんどの負の沖向き流れとなる。図中の実線は水平床の場合の式(10)を示したものであるが、碎波点の場合と同様な現象を表わす式であるため、図-5に示した。他の式(5),(9),(11)の場合の値に比べて、かなり測定値に接近していると思われる。しかし、理論式の場合の値が正流速であるのに比べて測定値にはほとんど負流速の場合が多いのは、戻り流れがあることに加えて、波が非対称にならなければ、図-1(b)に示すような負流速の発生時間  $T_0$  が正流速  $T-T_0$  に比べて次第に長くなり、さらに  $h_b/L_0$  が大きい場合は負流速が増大するので時間平均流速もまた負流速を増大する傾向になると見える。勾配別でも背側波長が長い  $S=1/60$  の場合の方が他の勾配の場合に比べて時間的平均においては負流速が大きく現われると見える。したがって碎波点におけるような非対称的流速値の発生の場合と比較的対称な水平床の場合では大きな差異があると考えられる。式(5)については、図-5でも解く通り Biggken 等は勾配の影響は僅かであり、むしろ波高の影響による場合が大きいことを指摘していることから考えると、Miche の式は実際の碎波点より若干大きい値を与えるため、他の式(9),(10),(11)の場合も同様実際にはやや小さい値となるだろうことが予想される測定値に限ってもやはり勾配の影響そのものより、勾配の変化によって生ずる非対称性の度合の方が影響が大きいと見える。

次に、正負流速の発生時間が非対称であるにも水平床の場合とあまり差異が現われないようは、図-1(b)に示すような時間的平均流速、( $\bar{U}_+ - \bar{U}_-$ )の値について考えてみる。

$$\bar{U}_+ = \frac{1}{T-T_0} \int_{T_0}^T U_{\infty} dt, \quad \bar{U}_- = \frac{1}{T_0} \int_0^{T_0} U_{\infty} dt$$

とすると、

$$\bar{U}_{\infty} = \frac{1}{T} \int_0^T U_{\infty} dt = \frac{1}{T} \left[ \int_0^{T_0} U_{\infty} dt + \int_{T_0}^T U_{\infty} dt \right] \quad \cdots(12)$$

より、 $\bar{U}_+ - \bar{U}_- = \frac{T}{T_0} (\bar{U}_{\infty} - \bar{U}_+) + 2\bar{U}_-$  の関係となる。したがって、水平床の場合では微小振幅理論の場合のように、正負流速の発生時間 ( $T-T_0$ )、 $T_0$  にあまり差異がないと看えられるときは  $T-T_0 \approx T_0$  とおき近似的に  $\bar{U}_+ - \bar{U}_- = 2\bar{U}_{\infty}$  が成り立つ。この關係を用いて、測定値に最も類似していける式(10)から、

$$\frac{\bar{U}_+ - \bar{U}_-}{\sqrt{gL_0}} = 2 \times 0.004 \frac{\tanh \frac{2\pi h_b}{L_0}}{\cosh^2 \frac{2\pi h_b}{L_0}} \left( 1 - \frac{L_b}{4\pi h_b} \sinh \frac{2\pi h_b}{L_b} \right) \quad \cdots(13)$$

を得る。一方測定値を  $\sqrt{gL_0}$  で無次元化した場合の図を図-6, 7, 8 のようになり。 $S=1/60$  の場合  $h_b/L_0$  が大きい場合はやはり非対称性の影響を強く示していながら全体的には各勾配共に正流速が多く類似した傾向を示している。また、図中の破線は式(13)を示したもので図-2, 3, 4 の場合よりよく類似していけるのがわかる。他の(5), (9), (11)式についても傾向は測定値とよく類似していけるが値については図-6, 7, 8 の測定値と比較した場合は平均的にそれぞれ3倍, 5倍, 7倍ぐらの差異となる。

次に、正流速、負流速の各々について、発生時間  $T-T_0$ 、 $T_0$  と  $\frac{1}{2}$  周期とする微小振幅波を考えると、底面流速の時間的変動は、

$$U = \frac{H_0}{2} \frac{1}{\sinh 2\pi h_b} \sin(\omega t) \quad \text{より、岸向き, 冲向きにつれて},$$

$$U_+ = \frac{1}{2} (2\eta_c) \frac{2\pi}{2(T-T_0)} \frac{1}{\sinh \frac{2\pi h_b}{2L_{bf}}} \sin \left\{ \frac{2\pi}{2(T-T_0)} t \right\}$$

$$U_- = \frac{1}{2} (2\eta_c) \frac{2\pi}{2T_0} \frac{1}{\sinh \frac{2\pi h_b}{2L_{bb}}} \sin \left\{ \frac{2\pi}{2T_0} t + \pi \right\}$$

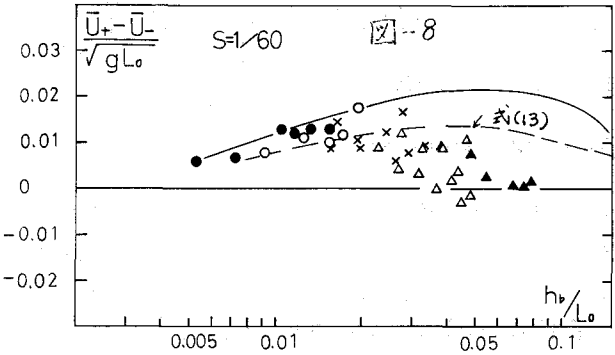
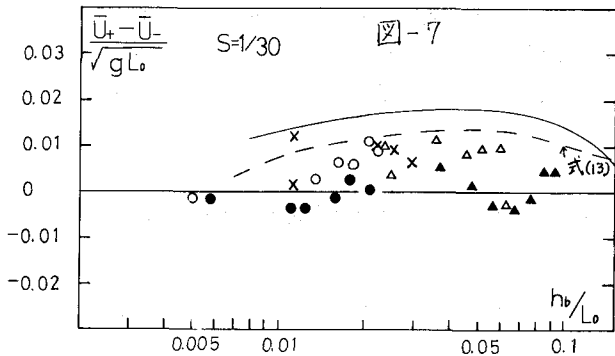
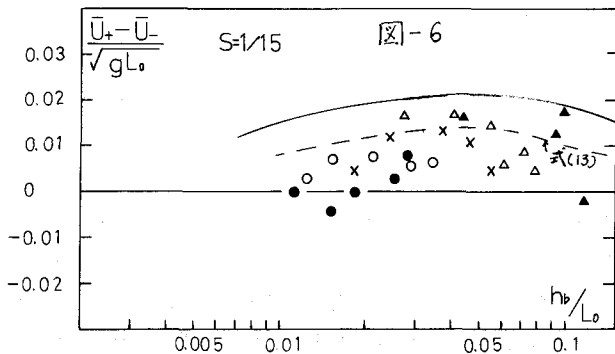
を表わすことにする。ここで  $\eta_c$ ,  $\eta_t$ ,  $L_{bf}$ ,  $L_{bb}$  はそれぞれ静水面より拳高、谷高ならびに碎波の前面波長、背面波長である。上式を用いて  $\bar{U}_+ - \bar{U}_-$  の値を求めると

$$\bar{U}_+ - \bar{U}_- = \frac{2\eta_c}{T-T_0} \frac{1}{\sinh \frac{2\pi h_b}{2L_{bf}}} - \frac{2\eta_c}{T_0} \frac{1}{\sinh \frac{2\pi h_b}{2L_{bb}}}$$

を得る。さらに、 $T : L_b = (T-T_0) : L_{bf}$  の比例関係が成り立つと考えると、 $\sqrt{gL_0}$  で無次元化した式は、

$$\frac{\bar{U}_+ - \bar{U}_-}{\sqrt{gL_0}} = \frac{1}{\sqrt{2\pi}} \tanh \frac{2\pi h_b}{L_b} \left[ \frac{(2\eta_c)}{L_b} \frac{1}{4\pi^2/L_b} \frac{1}{\sinh \frac{2\pi h_b}{2L_{bf}}} - \frac{(2\eta_c)}{L_b} \frac{1}{L_{bf}/L_b} \frac{1}{\sinh \frac{2\pi h_b}{2L_{bb}}} \right] \quad \cdots(14)$$

また  $L_0, L_b$  の關係には  $L_b = L_0 \tanh(2\pi h_b/L_b)$  を用いた。



式中の  $L_b$ ,  $L_{bb}$ ,  $L_{bf}$  は  $\approx 2.17$   
 $L_b = L_{bf} + L_{bb}$ ,  $(L_{bb}/L_b) = (h_0/2L_{bb})/(h_0/2L_{bb})$   
 $L_{bf}/L_b = 1 - L_{bb}/L_b$  であり,  $h_0/2L_{bb}$  の値に1.13 ( $h_0/2L_{bb}$ )<sup>1/2</sup>  
 文献4) に示した実験式  $h_0/2L_{bb} = 1.13 (h_0/2L_{bb})^{1/2}$   
 を使用した, さらに,  $z\eta_c/L_b$ ,  $z\eta_b/L_b$  の値も  
 同様に文献4) 中の値を用いて式(14)の値を  
 計算したもののが図-6, 7, 8 に実線で示した  
 曲線である。測定値との比較についてはやや  
 値に違いが見られるがほぼ類似した傾向が得  
 られた。また, 坡度  $S = 1/60$  の場合では  $h_0/L_0$   
 の大きさへ場合と差異が大きいのは,  $T-T_0$ ,  $T_0$   
 と  $L_{bb}$ ,  $L_{bf}$  の間に比例関係が成り立たない  
 状態にあることも考へられ。発生時間  $T-T_0$ ,  $T_0$   
 の非対稱性を十分把握する必要があると考  
 えられる。

#### V. まとめ

碎波附近の非対稱性の強い波に関する流速  
 値と周期間にについて時間平均流速を求める  
 と波長が長い背側の流速絶が大きく現われ  
 結果として沖向きの負の質量輸送が多くな  
 ることがわかった。このことは普通底質移動  
 の実験等よく見受けられる細い漂遊砂が沖  
 向きに移動する現象を表わすものと考えら  
 れるが、掃流砂の場合には必ずしも適合せず  
 むしろ、水平床の場合の質量輸送速度と類似  
 の傾向にある。岸向き、沖向きの場合のそれ  
 ぞれの平均流速の差 ( $U_+ - U_-$ ) の値が有効に  
 なる様に考えられる。

#### 参考文献

- 1) Ippen, A.T. and Eagleson, P.S. : A Study of Sediment Sorting by Waves on a Plane Beach, BEB Tech. Memo, No. 75 (1955)
- 2) Eagleson, P.S. and Dean, R.G. : Wave Induced Motion of Bottom Sediment Particles, Proc. ASCE, HY 10 (1959)
- 3) Bijker, E.W., Kalkwijk, J.P. and Pieters, T : Mass Transport in Gravity Waves on a Sloping Beach, Proc. of 14th Coastal Eng. (1974) pp. 467~465
- 4) 佐藤幸雄 : 碎波帯における碎波の表面流速に関する研究, 第2回海講 (1977)